

Схема экспериментальной установки:

1 — защитная стена из парафина; 2 —  $\text{UO}_2\text{-H}_2\text{O}$ -сборка; 3 — защитная стена из свинца; 4 — защитные блоки из бетона; 5 — дистанционирующие решетки; 6 —  $\text{UO}_2$ -твэлы; 7 — канал для монитора; 8 —  $\text{BF}_3$ -счетчик; 9 — графитовая призма; 10 — рассеиватель; 11 — ГЭК ИРТ МИФИ

При облучении в кадмиевом чехле использовали кадмийевые фильтры толщиной 500 мкм. От экспериментальных образцов кадмийевые фильтры отделяли топ-

ливными таблетками из двуокиси урана толщиной 5 мм. Скорость деления тепловыми и надкадмийевыми нейтронами определяли по интенсивности  $\gamma$ -излучения изотопа  $^{143}\text{Ce}$ . «Взвешивание» образцов осуществлялось по интенсивности  $\gamma$ -излучения  $^{235}\text{U}$  с  $E_\gamma = 185,72 \text{ кэВ}$ .

Функционал  $\frac{\langle \sigma_c^{28} \rangle}{\langle \sigma_f^{25} \rangle}$

измеряли путем сравнения интенсивностей  $\gamma$ -излучения изотопов  $^{239}\text{Np}$  ( $E_\gamma = 277,6 \text{ кэВ}$ ) и  $^{143}\text{Ce}$  ( $E_\gamma = 293,26 \text{ кэВ}$ ) в образце, изготовленном из двуокиси урана с обогащением 6,5% по  $^{235}\text{U}$ , толщиной 500 мкм и диаметром 7,65 мм. Для определения отношения эффективности регистрации  $\gamma$ -квантов этих энергий  $\left( \frac{\sigma_c^{28}}{\sigma_c^{277,6}} \right)$  проводили калибровку образцов в тепло-

вой колонне. Время облучения в ней соответствовало времени облучения в  $\text{UO}_2 \rightarrow \text{H}_2\text{O}$  подкритической сборке. Сечения  $\sigma_c^{28}$  и  $\sigma_f^{25}$  в тепловой области были приняты равными  $\sigma_c^{28} = 2,73 \pm 0,04 \text{ б}$ ,  $\sigma_f^{25} = 580,2 \pm 1,8 \text{ б}$  [2, 3].

В результате измерений были получены следующие значения:  $\delta^{28} = 0,0537 \pm 0,0015$ ;  $\delta^{25} = 0,266 \pm 0,006$ ;  $\frac{\langle \sigma_c^{28} \rangle}{\langle \sigma_f^{25} \rangle} = 0,0239 \pm 0,0011$ .

Поступило в Редакцию 4/V 1977 г.

## СПИСОК ЛИТЕРАТУРЫ

- Юрова Л. Н. и др. «Атомная энергия», 1976, т. 41, вып. 4, с. 279.
- Neutron Cross Sections. BNL-325, 1973.
- In: Proc. IAEA Symp. «Nucl. Date for Reactors». Helsinki, 1970, p. 134, 287.

УДК 621.039.515

## Трехмерное аналоговое моделирование реактора с учетом теплопереноса

ЕМЕЛЬЯНОВ И. Я., ФИЛИПЧУК Е. В., ПОТАПЕНКО П. Т., КРЫЛОВ В. М.

Математическая модель реактора в задачах регулирования может базироваться на одногрупповом диффузионном приближении\*:

$$\frac{dn}{dt} = \frac{k_\infty - 1}{r} n + \frac{M^2}{r} \nabla^2 n - \sum_{i=1}^6 \frac{dC_i}{dt}; \quad (1)$$

$$\frac{dC_i}{dt} = \frac{k_\infty \beta_i}{r} n - \lambda_i C_i, \quad i = 1, 2, \dots, 6. \quad (2)$$

Здесь  $n$  — плотность нейтронного потока;  $k_\infty$  — коэффициент размножения;  $t$  — время жизни нейтронов;  $C_i$ ,

$\beta_i$ ,  $\lambda_i$  — концентрация, доли и постоянные распада источников запаздывающих нейтронов;  $M^2$  — площадь миграции.

Локальное изменение коэффициента размножения  $\Delta k$  представляется в виде

$$\Delta k = \delta k + \delta k_t + \delta k_\pi, \quad (3)$$

где  $\delta k$  — внешнее воздействие (регулирующие стержни и внешние возмущения  $k_\infty$ );  $\delta k_t$  — эффект изменения  $k_\infty$  вследствие изменения температуры топлива (доплер-эффект);  $\delta k_\pi$  — локальное изменение  $k_\infty$  вследствие изменения объемного паросодержания  $\varphi$ .

Уравнение для изменения  $\delta k_t$  представляется в виде

$$T_t \frac{d\delta k_t}{dt} + \delta k_t = K_t \delta \varphi, \quad (4)$$

где  $\delta \varphi$  — локальное отклонение плотности нейтронного потока;  $T_t$  — постоянная времени топлива;  $K_t$  — отрицательный коэффициент обратной связи по топливу.

\* Потапенко П. Т., Винтизенко И. Т., Косилов А. Н. В кн.: Аналоговая и аналого-цифровая вычислительная техника. Вып. 6. М., «Сов. радио», 1973, с. 102.

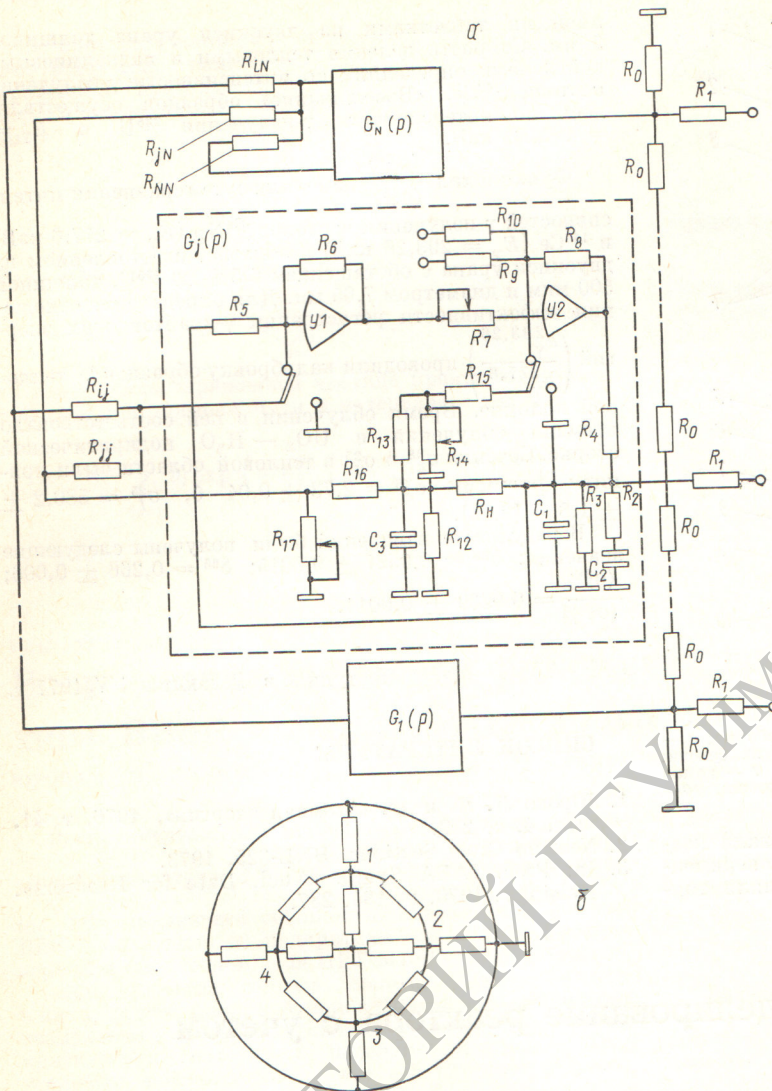


Рис. 1. Трехмерная аналоговая модель: схема одного канала (a), схема резистивной сетки одного этажа модели (б)

Уравнение для изменений  $\delta k_{\Pi}$ :

$$\delta k_{\Pi} = K_{\Phi} \delta \varphi, \quad (5)$$

где  $\delta \varphi$  — локальное отклонение объемного паросодержания от стационарного значения;  $K_{\Phi}$  — положительный коэффициент обратной связи по паросодержанию.

Связь объемного  $\varphi$  и массового  $x$  паросодержаний нелинейна и выражается соотношением

$$\varphi = \frac{x}{x + \gamma_0(2-x)} = F(x), \quad (6)$$

где  $\gamma_0$  — плотность насыщенного пара (относительно воды).

Изменение массового паросодержания по высоте  $\delta x$  относительно номинального распределения связано с отклонением нейтронного поля от базового значения на предшествующем (по ходу теплоносителя)

участке

$$\delta x(z) = \frac{x_{\text{вых}}^*}{H} \int_0^z n^*(z) dz, \quad (7)$$

где  $x_{\text{вых}}^*$  — номинальное массовое паросодержание на выходе каналов;  $n^*(z)$  — номинальное высотное поле нейтронов.

С учетом малых отклонений от номинальных параметров из (6) получаем

$$\delta \varphi(z) = \frac{\partial \varphi}{\partial x} \delta x(z) = F'(z) \delta x(z), \quad (8)$$

где производная  $F'(z)$  взята для номинальных значений паросодержаний в точке  $z$ . Комбинируя (5) — (8), получаем необходимую для моделирования связь в статике между отклонениями  $\delta n(z)$  и изменениями  $\delta k_{\Pi}$ , обусловленными паровым коэффициентом

$$\delta k_{\Pi} = K_{\Phi} F'(z) \frac{x_{\text{вых}}^*}{H} \int_0^z \delta n(z) dz. \quad (9)$$

Приведенные уравнения приняты в качестве математической модели.

Аналоговая модель реактора содержала 5 идентичных каналов, в радиальном направлении реактор разбивался на центральную зону и 4 квадрата равной площади. По высоте активная зона разбивалась на 8 слоев. Параметры реактора: высота экономайзерного участка 30% высоты  $H$  активной зоны; высота выравненной зоны  $h = -0,4H$ ;  $M^2 = 550 \text{ см}^2$ ;  $T_t = 15 \text{ с}$ ,

коэффициенты реактивности в модели регулируются в пределах  $K_t = -(0-2)\beta$  на 100%-ное изменение мощности и  $K_{\Phi} = (0-4)\beta$  на 100%-ное изменение паросодержания. Далее приведены результаты для значений  $K_t = -\beta$ ,  $K_{\Phi} = +2\beta$ . Аналоговая модель (рис. 1, а) представляет собой трехмерную резистивную решетку, моделирующую диффузию нейтронов, к узлам которой присоединены операционные усилители с  $RC$ -цепями, моделирующие приведенные выше уравнения. На рис. 1, а приведен один из пяти каналов модели; в горизонтальном направлении эти каналы соединены семиэтажной сеткой из 5 узлов (на каждый этаж). Один этаж сетки представлен на рис. 1, б. Каждый узел решетки резисторов обслуживался парой операционных усилителей УУ-2, всего использовалось 70 усилителей. При моделировании интеграл в выражении (9) заменялся соответствующей суммой в модели:

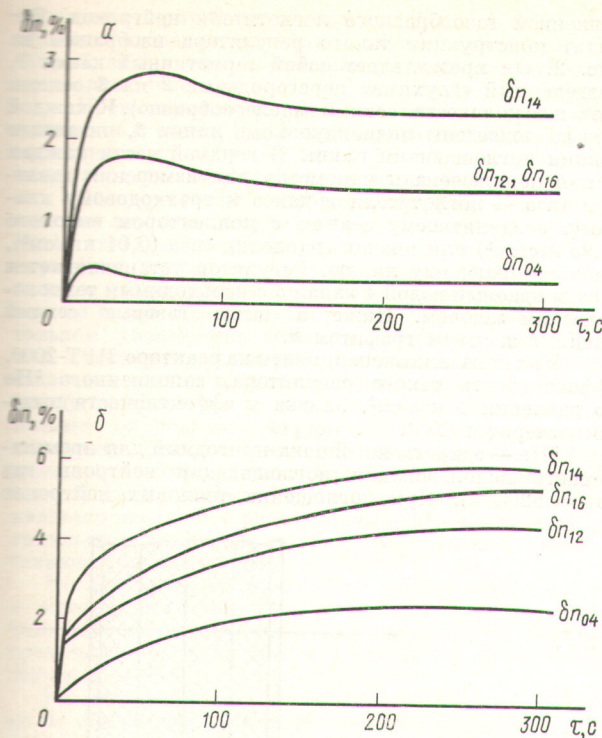


Рис. 2. Переходные процессы в модели при ступенчатом изменении реактивности  $\delta k_{14}=0,2\beta$  для реактора с  $\kappa_T=-\beta$ ,  $\kappa_\varphi=0$  (а) и при  $\kappa_T=-\beta$ ,  $\kappa_\varphi=+2\beta$  (б)

на входе усилителя Y-1 суммируются «паровые» вклады от всех ячеек, предшествующих рассматриваемой (по ходу теплоносителя).

Нули напряжений в узлах сетки означают соответствие базовому нейтронному полю.

На аналоговой модели проведено большое количество экспериментов по динамике и статике нейтронного поля. Здесь приведены наиболее характерные результаты. Ячейки модели далее индексируются двумя цифрами, первая из которых является номером канала

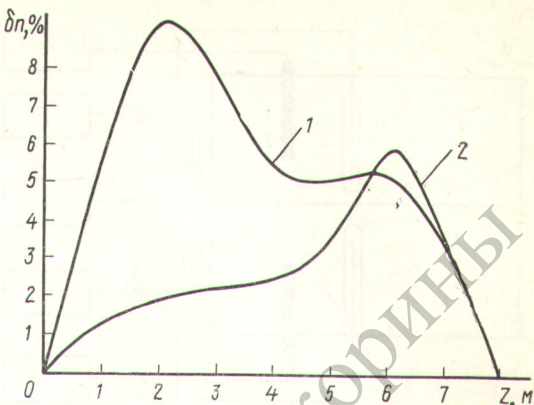


Рис. 3. Статистические распределения отклонения нейтронного поля по высоте в первом канале при  $\delta k_{12} = 0,2\beta$  (1) и  $\delta k_{16} = 0,2\beta$  (2)

(в соответствии с рис. 1, б), а вторая — номером узла в этом канале, начиная снизу. Так,  $\delta k_{14}$  и  $\delta n_{14}$  означают входные и выходные сигналы для четвертого снизу узла первого канала.

На рис. 2 приведены переходные процессы отклонений нейтронного поля при ступенчатом изменении  $k_\infty$  в ячейке 14 на величину  $\delta k_{14} = 0,2\beta$  для реактора с  $K_T = -\beta$  и  $K_\varphi = 0$  (см. рис. 2, а) и с  $K_T = -\beta$  и  $K_\varphi = +2\beta$  (см. рис. 2, б).

На рис. 3 приведены статистические распределения для изменения  $\delta k_{12}$  (1) и  $\delta k_{16}$  (2) на величину  $0,2\beta$  ( $K_T = -\beta$ ,  $K_\varphi = +2\beta$ ).

Из рис. 2—3 видно, что положительный паровой коэффициент реактивности не только увеличивает отклонения нейтронного поля в ответ на локальные возмущения реактивности, но и вызывает значительную асимметрию в реакциях верхней и нижней частей активной зоны.

Аналоговая модель позволяет в короткий срок провести обширные исследования по динамике нейтронного поля и систем трехмерного зонного регулирования мощности.

Поступило в Редакцию 26/V 1977 г.

УДК 621.039.562

## Трехмерное зонное регулирование мощности реактора

ЕМЕЛЬЯНОВ И. Я., ФИЛИПЧУК Е. В., ПОТАПЕНКО П. Т., КРЫЛОВ В. М.

При нестабильности реактора по отношению к первым азимутальной и высотной гармоникам стабилизация нейтронного поля реактора может быть обеспечена двухъярусной системой регулирования с несколькими зонными регуляторами на верхнем и нижнем ярусах.

Такая система полезна и при устойчивом распределении мощности, так как позволяет уменьшить локальные погрешности регулирования распределения мощности и тем самым увеличить теплотехническую надежность реактора. Так, при форсировании мощностей в реакторах за счет интенсификации теплообмена [1] или других мер в число параметров, лимитирующих

мощность, войдет температура твэлов, их оболочек, замедлителя. В этом случае проблема стабилизации и регулирования высотного распределения мощности становится весьма актуальной.

Однако и в реакторах, где поле нейтронов по высоте практически не лимитирует мощность и не ограничивает теплотехническую надежность, высотные перекосы и нестабильность поля крайне нежелательны. Они вызывают «термокачки», приводящие к преждевременному выходу из строя твэлов, изменяют эффективность стержней, обусловливают изменение мощности реактора автоматическим регулятором (при постоянной